

Экспериментальное и теоретическое изучение спиновой динамики водорода в магнитных полях

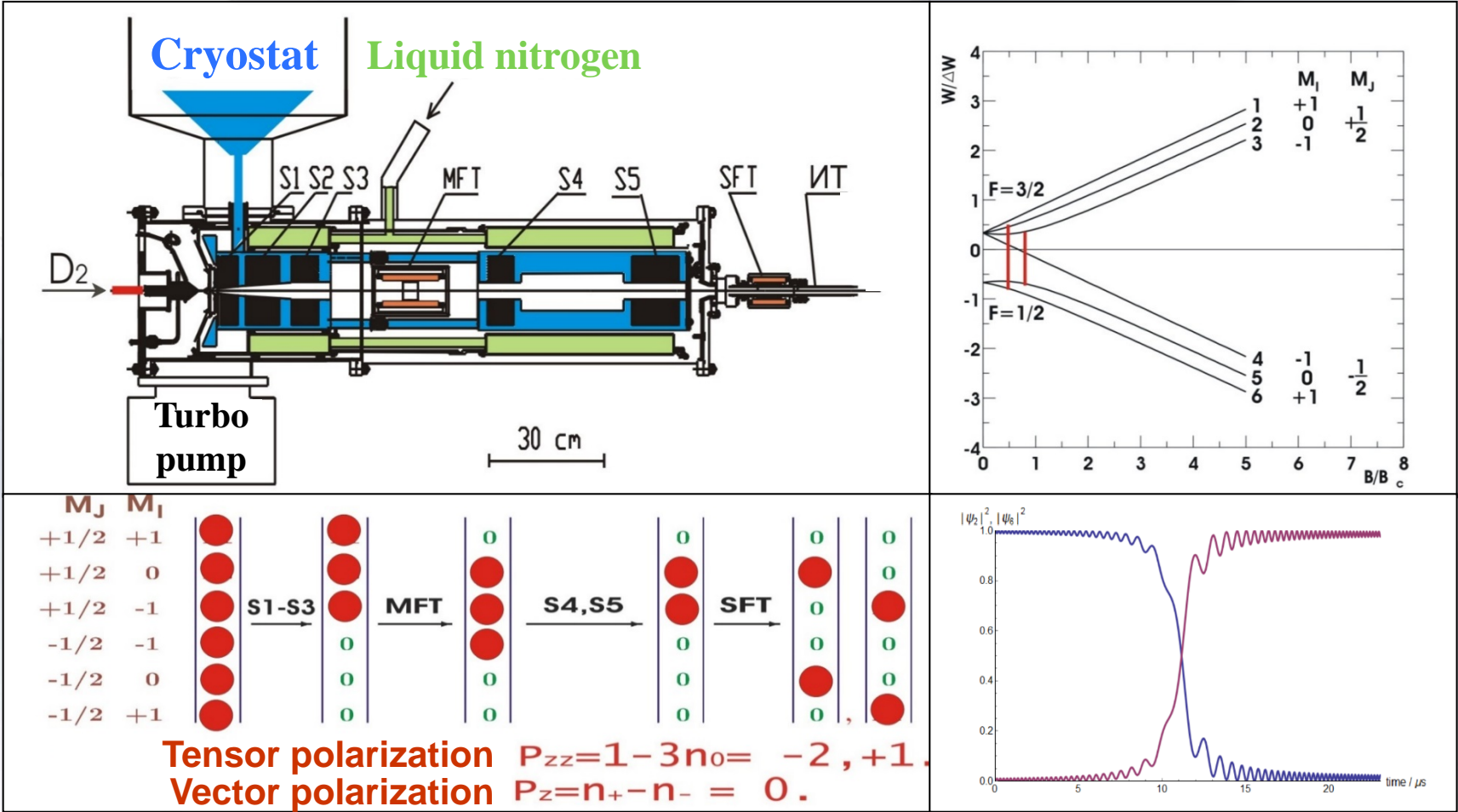
Юрий Шестаков

*Институт ядерной физики
имени Г.И.Будкера СО РАН*

24.04.2020

Polarized target at VEPP3 :: Cryogenic Atomic Beam Source

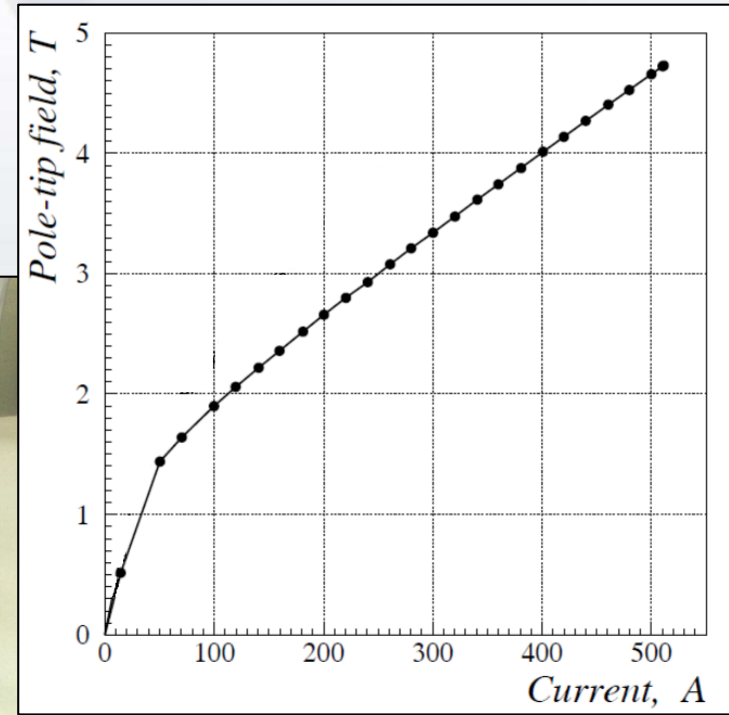
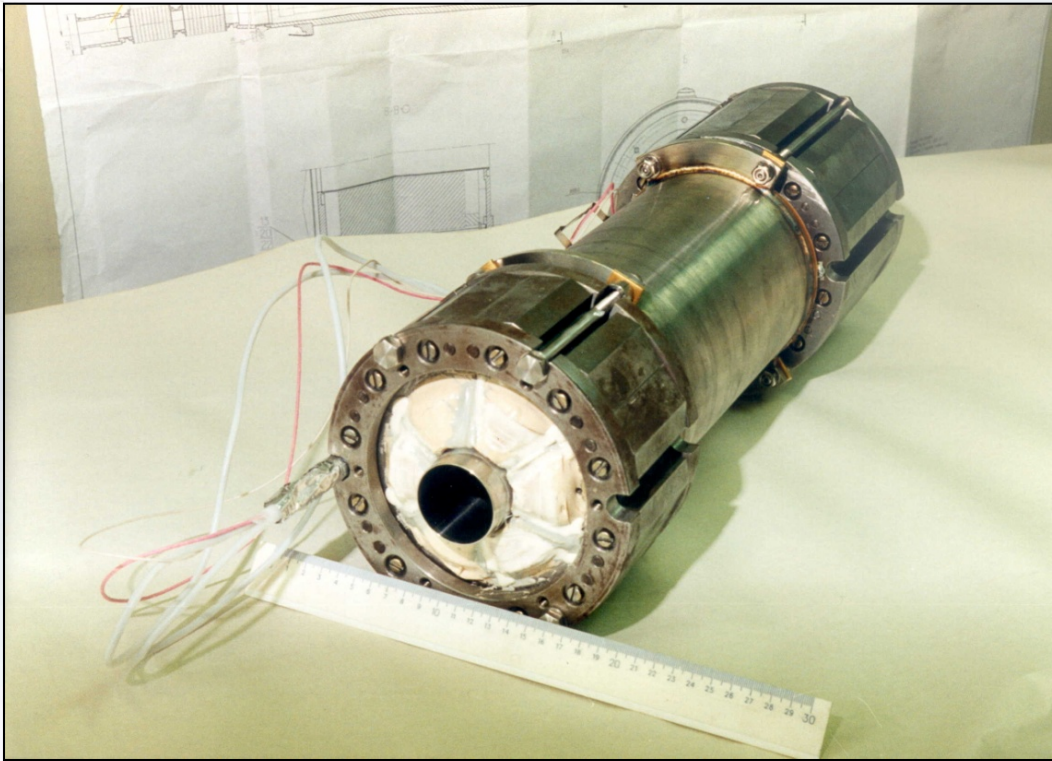
Stern-Gerlach method + adiabatic rf transitions



Cryogenic Atomic Beam Source :: Superconducting magnets

Pole tip field of magnets is up to 4.8 T.

Surface of magnets is used as a cryopump.



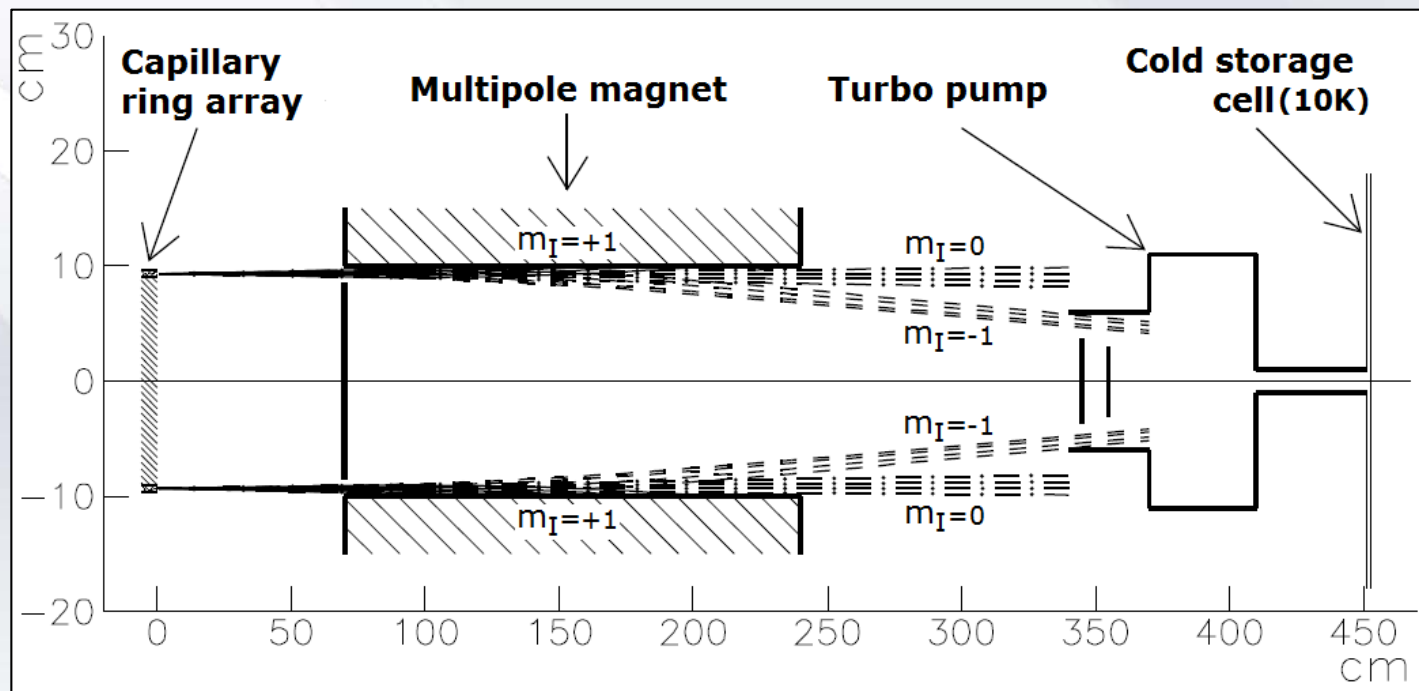
Max. flux = $8.2 \cdot 10^{16}$ at./sec.

Intrabeam scattering limits the intensity. (D.K.Toporkov, *Phys. of Part. and Nucl.* (2014) v.45, No1, 338-340)

How to increase the intensity of polarized beam ?

Large aperture → Low beam density → Avoidance of intrabeam scattering

Yu.V.Shestakov et al., "Possibility to obtain a high density polarized ortho-hydrogen gas target". Proc. of 13th Inter. Symp. on High Energy Spin Phys., Pronvino (1998) p.415 (Calculated $I \approx 10^{17} \text{ mol./s}$, yielding $t \approx 10^{15} \text{ mol./cm}^2$)



m_I – projection of molecular nuclear spin I . Under normal condition hydrogen is a mixture of 3/4 ortho- ($I=1$) and 1/4 para- ($I=0$) states. Total electron spin $S=0$.

“Towards a Molecular Source for Polarized Deuterium Fuel in Nuclear Fusion Research and other Applications” (2016-2018)

Applicants

on the Russian side:

*Dr. Dmitri Toporkov,
Budker Institute of Nuclear
Physics of Siberian Branch
RAS, Novosibirsk*

on the German side:

*Prof. Dr. Markus Buscher,
Institute of Laser and Plasma
Physics, Heinrich Heine
University, Dusseldorf.*

*The joint project involves the study of the **possibility of obtaining of nuclear spin polarized molecules** of hydrogen isotopes by their separation in a nonuniform magnetic field.*

Polarized fuel for thermonuclear fusion

Enhancement on fusion cross section

The primary reaction for fusion $D+T \rightarrow {}^5\text{He}^* \rightarrow {}^4\text{He}+n$ is dominated by spin 3/2 resonance that is just above the particle decay threshold in compound nuclei ${}^5\text{He}^*$. \Rightarrow Only the 3/2 spin channel contributes to the cross section:

$$\sigma_{\text{unpol}} = \frac{\sum_s (2s + 1)\sigma_s}{\sum_s (2s + 1)} = \frac{2\sigma_{1/2} + 4\sigma_{3/2}}{6} = \frac{2}{3}\sigma_{3/2}$$

If the incoming particles are both polarized: $\text{gain} = \frac{\sigma_{\text{pol}}}{\sigma_{\text{unpol}}} = \frac{\sigma_{3/2}}{2/3\sigma_{3/2}} = 1.5$

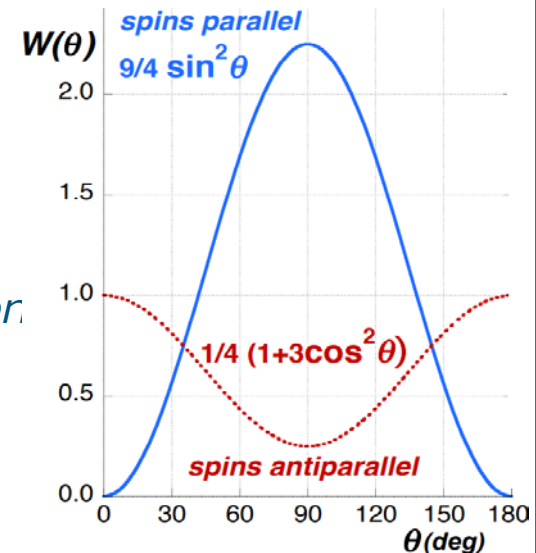
Control of angular distribution of reaction products

Maxwell-averaged cross section for $D + T \rightarrow {}^4\text{He}+n$:

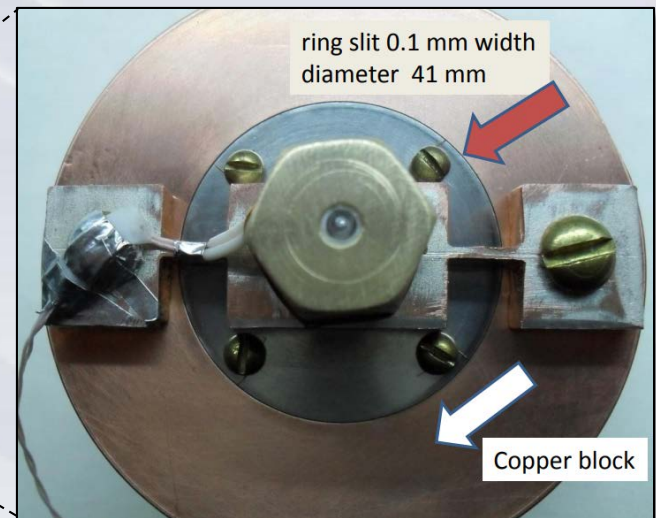
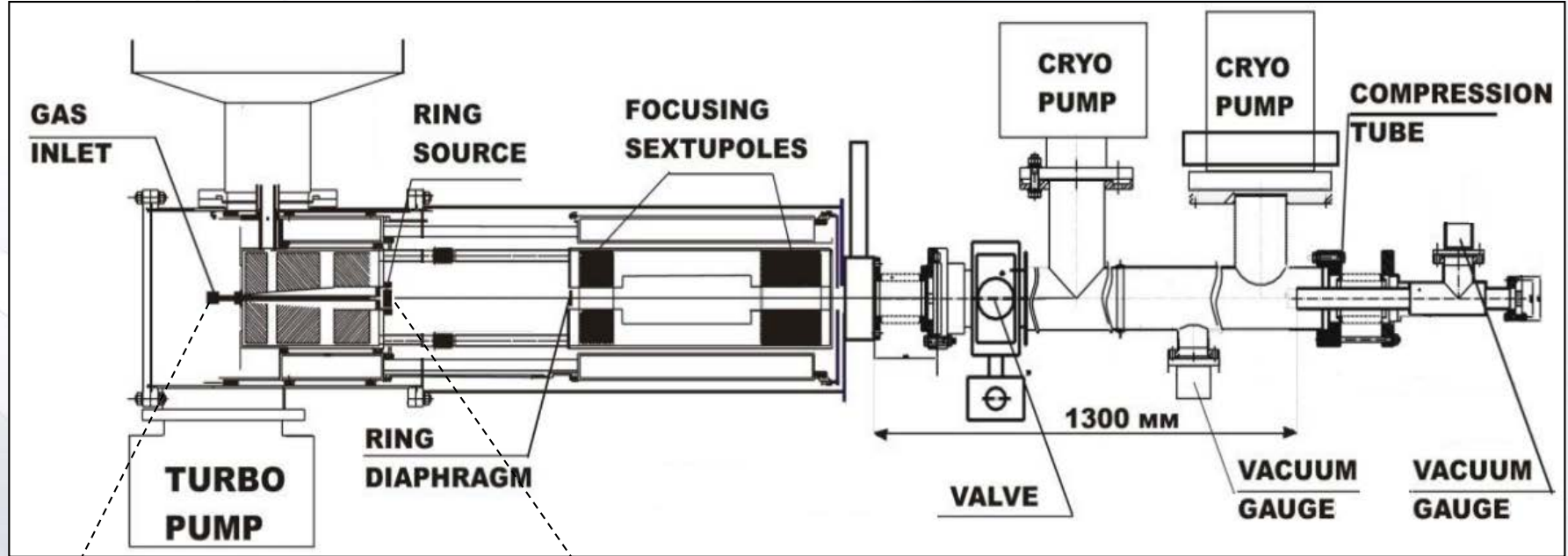
$$\langle d\sigma(\theta)v \rangle = \frac{1}{4\pi} \langle \sigma_0 v \rangle W(\theta) = \frac{1}{4\pi} \langle \sigma_0 v \rangle \left\{ 1 - \frac{1}{2} P_D^V P_T + \frac{1}{2} [3P_D^V P_T \sin^2 \theta + \frac{1}{2} P_D^T (1 - 3\cos^2 \theta)] \right\}$$

P_T is the triton polarization, P_D^V and P_D^T are the deuteron vector and tensor polarizations, angle θ is measured relative to magnetic field.

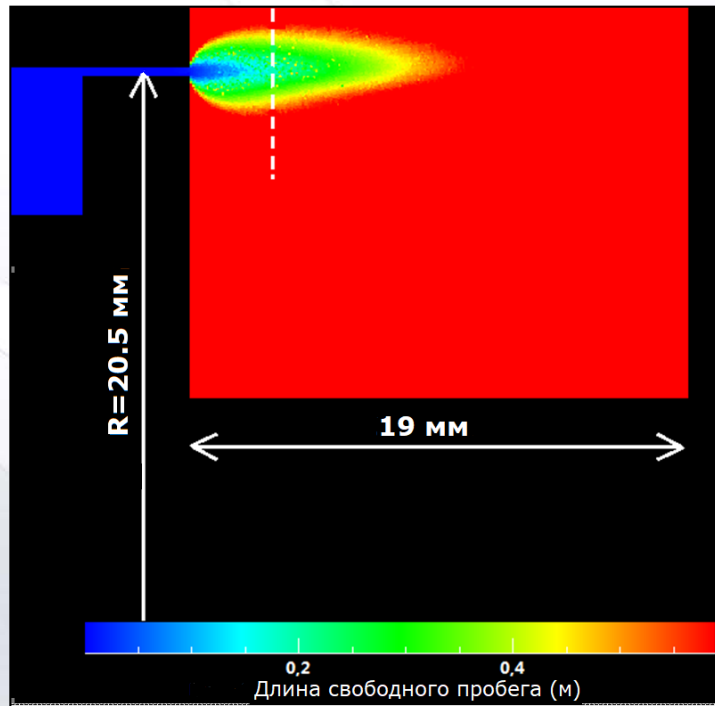
(A.M.Sandorfi, et al., arXiv:1703.06165v1 [physics.plasm-ph] 2017)



Experimental setup to obtain polarized molecules



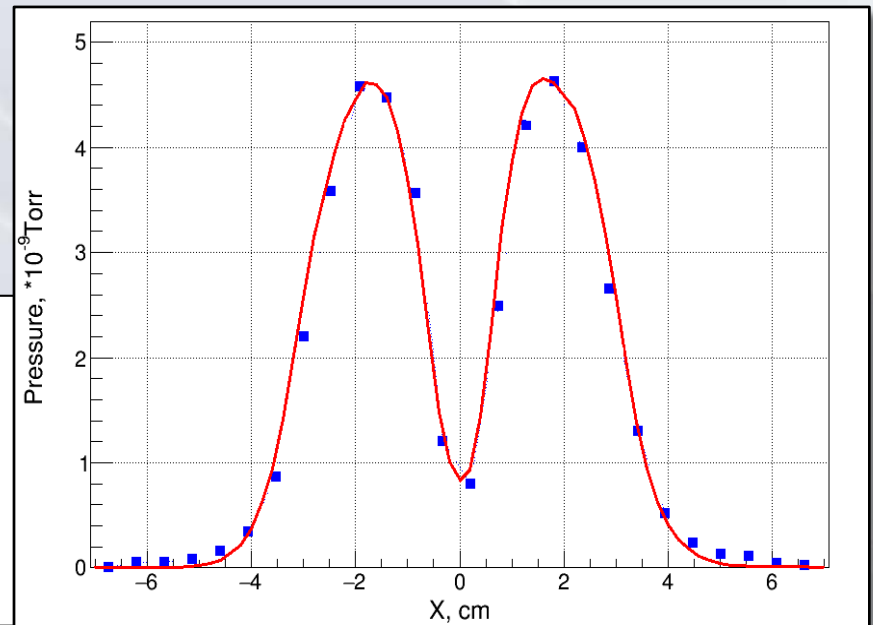
Profile of the molecular beam



The DSMC method was used to calculate the dynamics of the H_2 outflow through a ring nozzle.

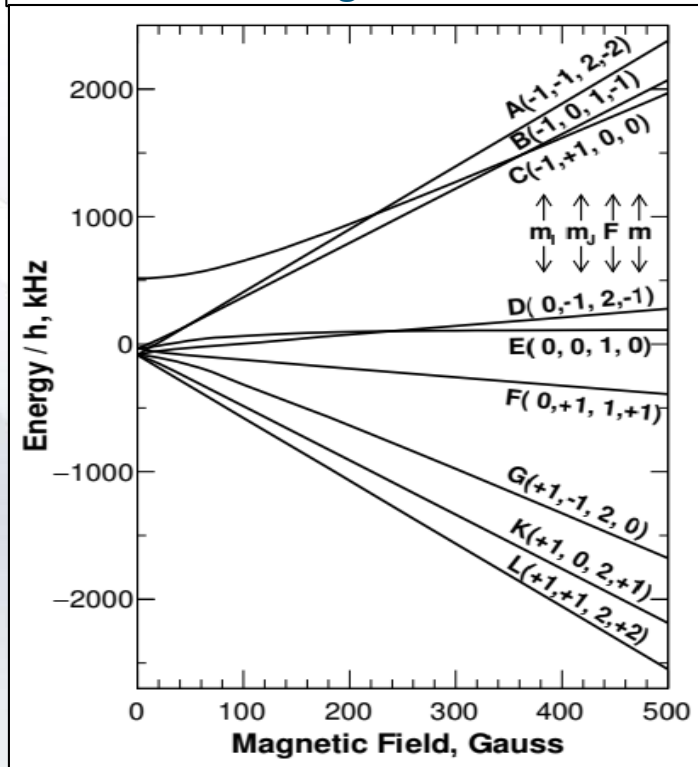
Molecules interacting with the inner surface of the magnets, subject to $2h \sin(\Theta) \ll \lambda$, are reflected specularly.

Right figure shows the pressure (blue points) measured by the CT as a function of the CT position. The position of compressing tube is changed in the direction perpendicular to the molecular jet. Red curve is the results of simulation.

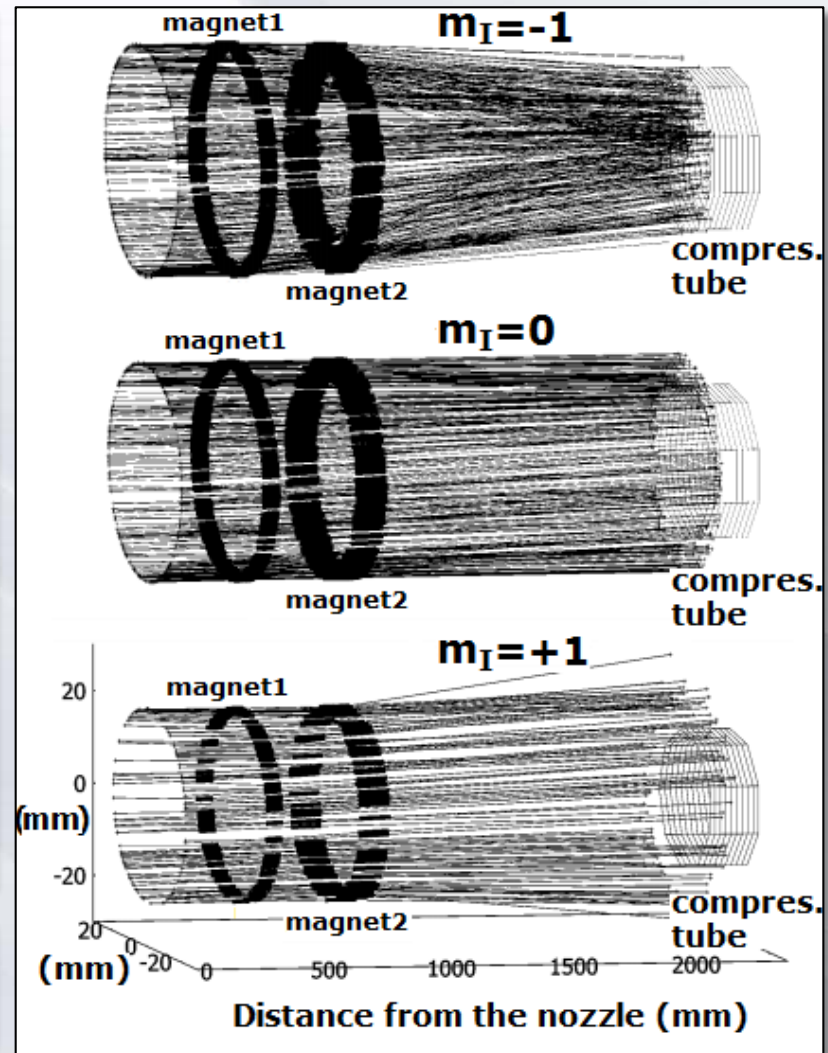


Monte Carlo ray tracing simulation

Energies of H_2 states as a function of magnetic field.



Only molecules in the states A, B, C with $m_l = -1$, which are focused can enter the CT.

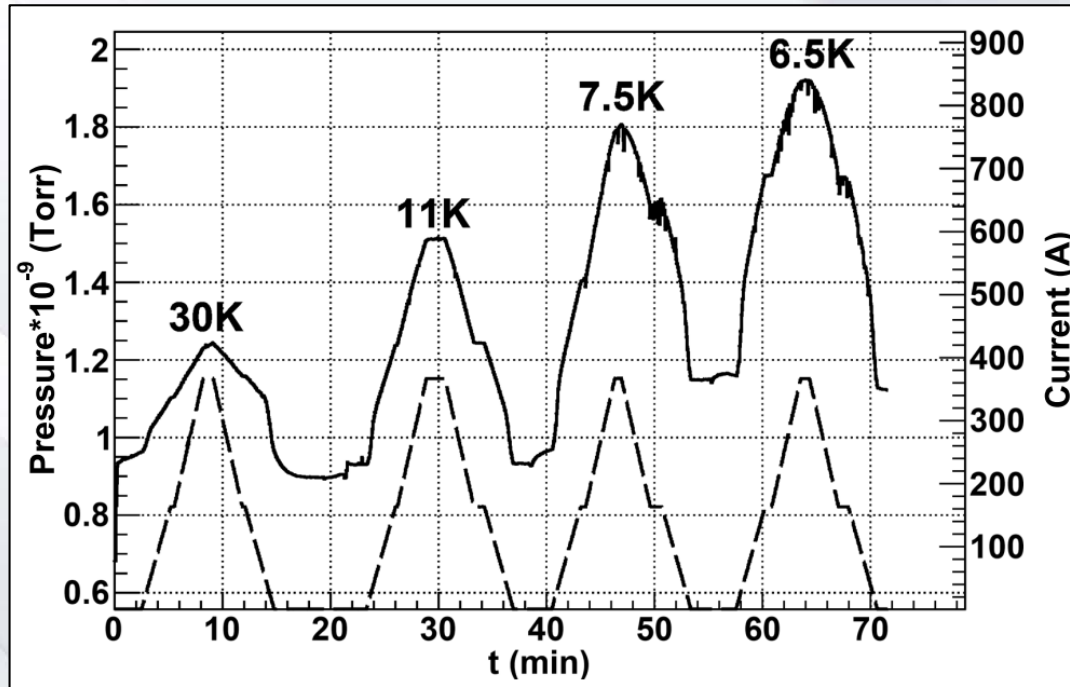


Experimental setup to obtain polarized molecules



Experimental results :: Intensity of H₂ beam while ramping the magnet

Figure shows the experimental result on the pressure change in the CT for a H₂ molecular beam, when the current through the magnets was turned on and off. The measurements were done at different temperature of the nozzle.



The conductance of the CT and the sensitivity of the vacuum gauge to the given gas are known. => It is possible to determine the flux of focused (polarized) molecules. $I_{max} \approx 3 \cdot 10^{12}$ mol./sec.

Polarization measurement with the LSP

POLARIZED MOLECULAR SOURCE

LAMB-SHIFT POLARIMETER

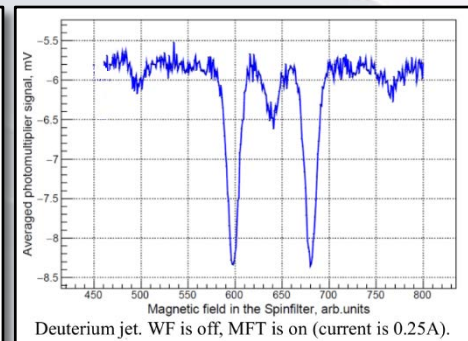
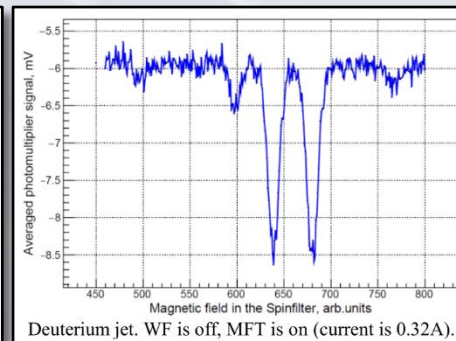
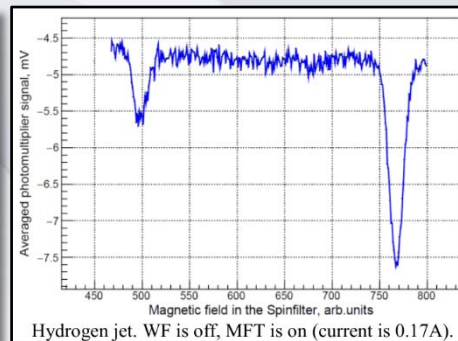
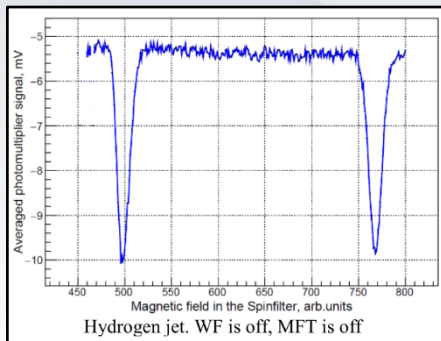
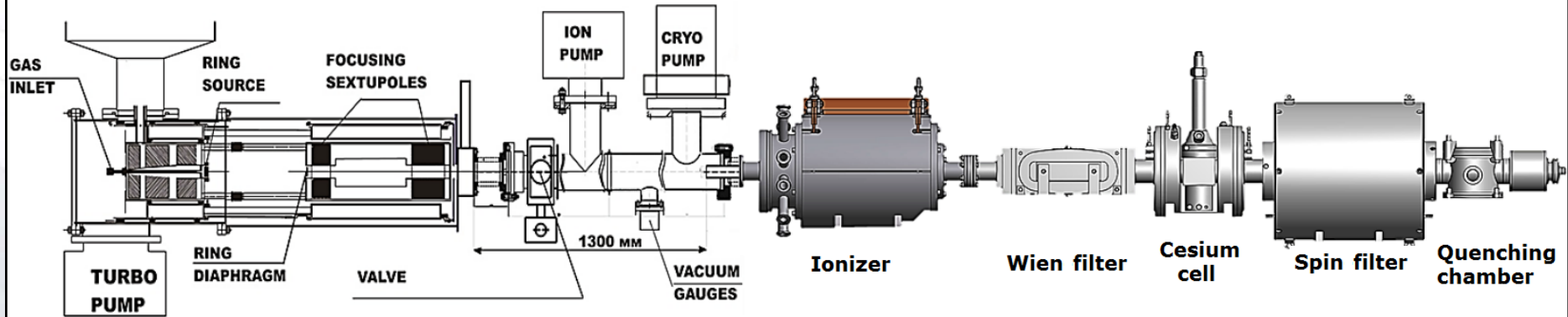
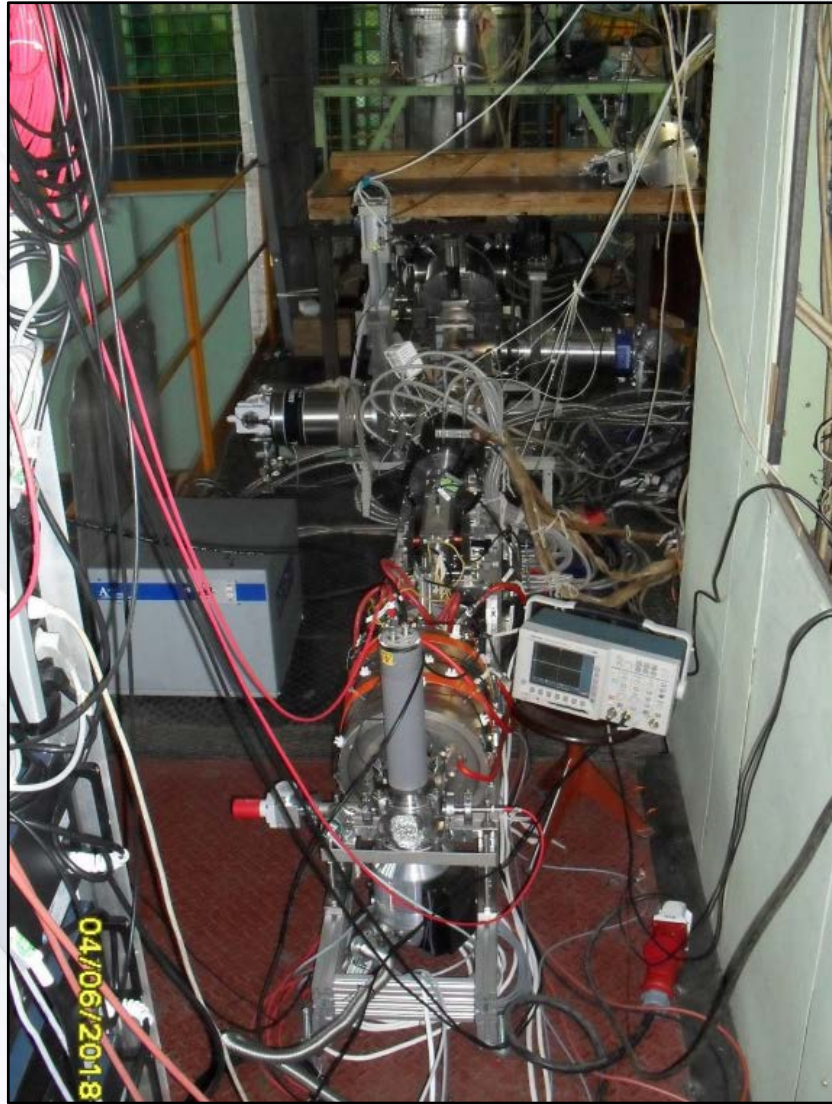


Photo of the Lamb-Shift Polarimeter in Novosibirsk



ФИЗИКА ЭЛЕМЕНТАРНЫХ ЧАСТИЦ И АТОМНОГО ЯДРА
2019. Т. 50. Вып. 5. С. 572–584

ИСТОЧНИК ЯДЕРНО-ПОЛЯРИЗОВАННЫХ МОЛЕКУЛ ВОДОРОДА/ДЕЙТЕРИЯ

Ю. В. Шестаков^{1,2,*}, Д. М. Николенко¹, И. А. Рачек¹,
Д. К. Топорков^{1,2}, А. В. Юрченко²

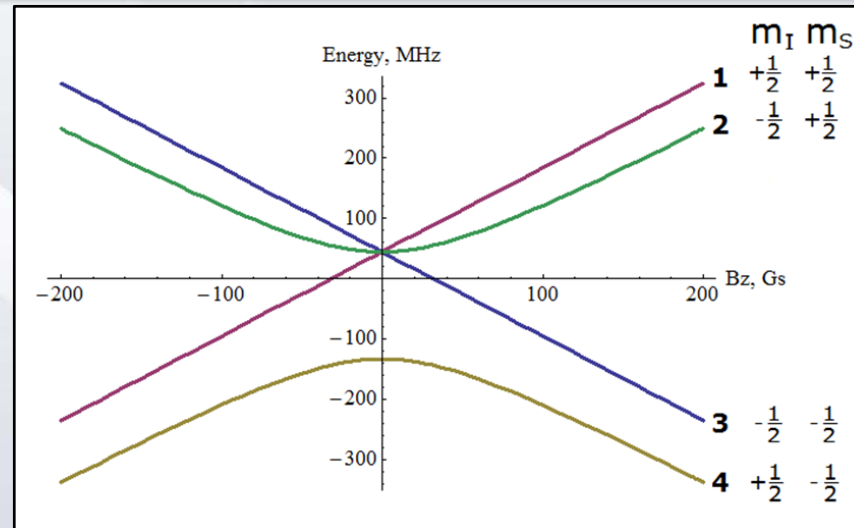
¹ Институт ядерной физики им. Г. И. Будкера СО РАН, Новосибирск, Россия

² Новосибирский государственный университет, Новосибирск, Россия

В Институте ядерной физики им. Г. И. Будкера испытан прототип источника ядерно-поляризованных молекул водорода/дейтерия, в основе которого лежит классическая схема Штерна–Герлаха. Основными компонентами прототипа являются кольцевое сопло, охлаждаемое до 6,5 К, и два сверхпроводящих шестиполюсных магнита. Измеренная интенсивность ядерно-поляризованных молекул водорода составила $3 \cdot 10^{12} \text{ с}^{-1}$ при полном газовом потоке через сопло $4 \cdot 10^{-2} \text{ л} \cdot \text{Торр/с}$. Полученные результаты будут использованы при разработке более интенсивного источника поляризованных молекул.

Квантовый интерферометр на основе ИПА и Сопа-переходов

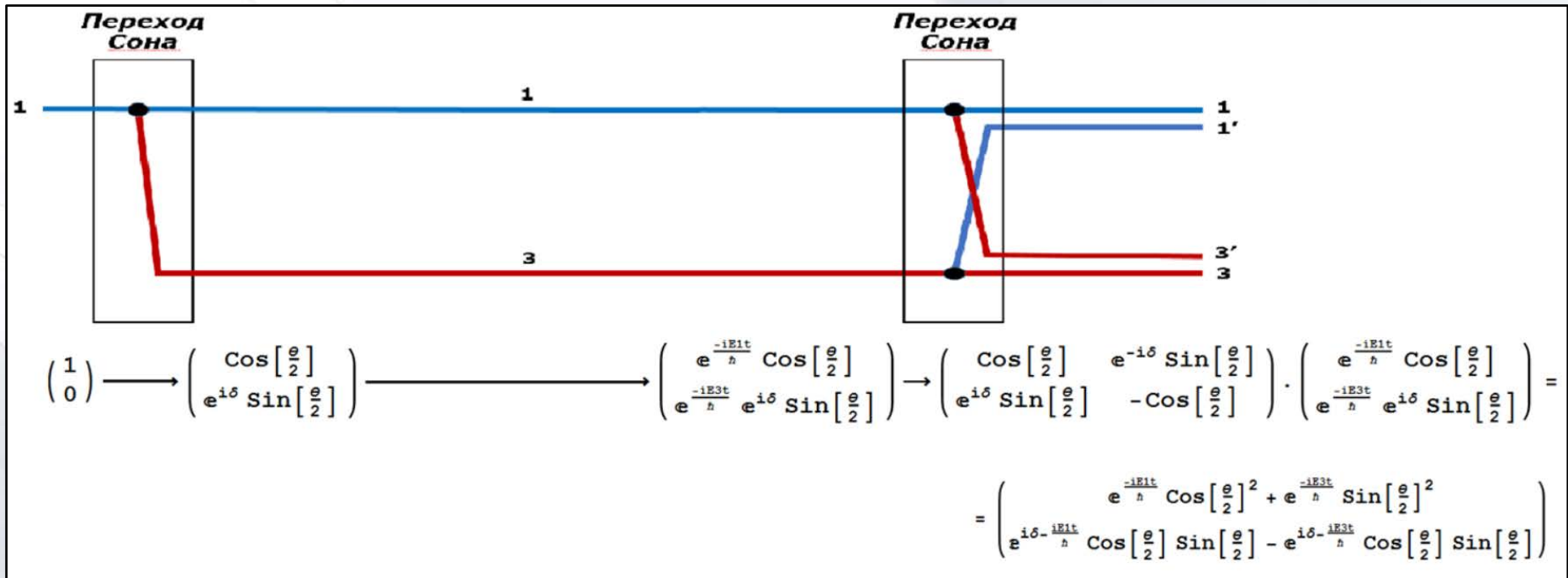
Переход между энергетическими уровнями при прохождении области с нулевым магнитным полем (Сопа-переход).



Реальный пучок атомов имеет поперечный размер => возникает B_r

$$\operatorname{div}(\mathbf{B})=0 \Rightarrow B_r = -(\frac{dB_z}{dz})r/2$$

Квантовый интерферометр на основе ИПА и Сопа-переходов

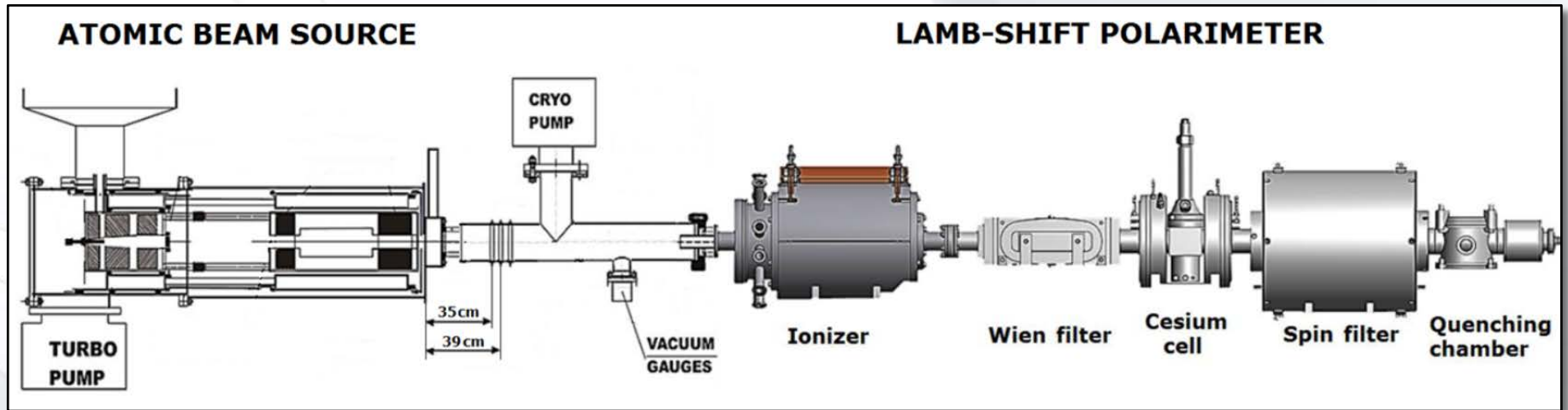


Если $\theta = \frac{\pi}{2} \Rightarrow \cos\left[\frac{\theta}{2}\right] = \sin\left[\frac{\theta}{2}\right] = \frac{1}{\sqrt{2}}$ и

$$W_1 = \frac{1}{2} \left(1 + \cos\left[\frac{\Delta E t}{\hbar}\right] \right) = \frac{1}{2} \left(1 + \cos\left[\frac{2\mu_B B}{\hbar} t\right] \right);$$

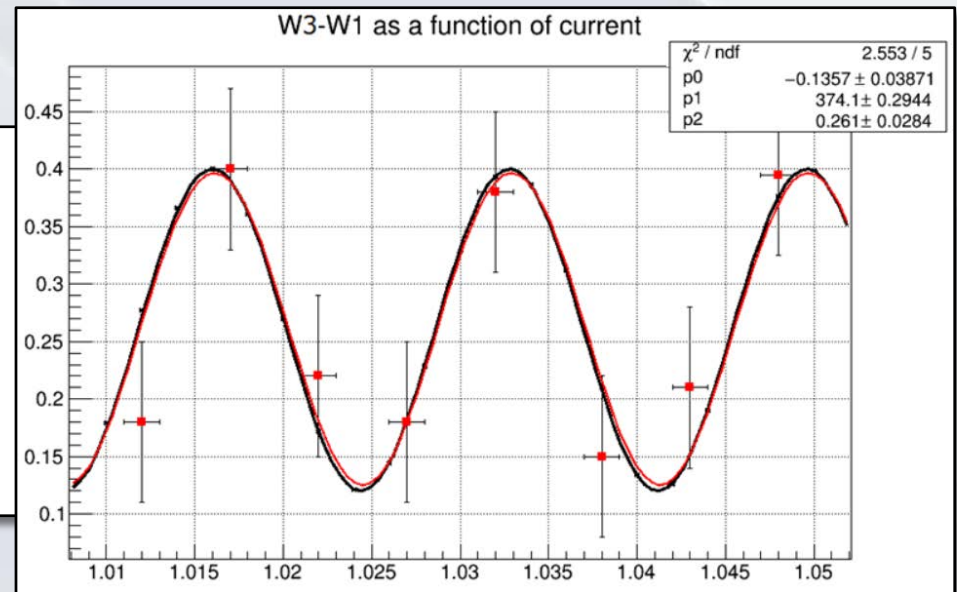
$$W_3 = \frac{1}{2} \left(1 - \cos\left[\frac{\Delta E t}{\hbar}\right] \right) = \frac{1}{2} \left(1 - \cos\left[\frac{2\mu_B B}{\hbar} t\right] \right).$$

Квантовый интерферометр на основе ИПА и Сола-переходов

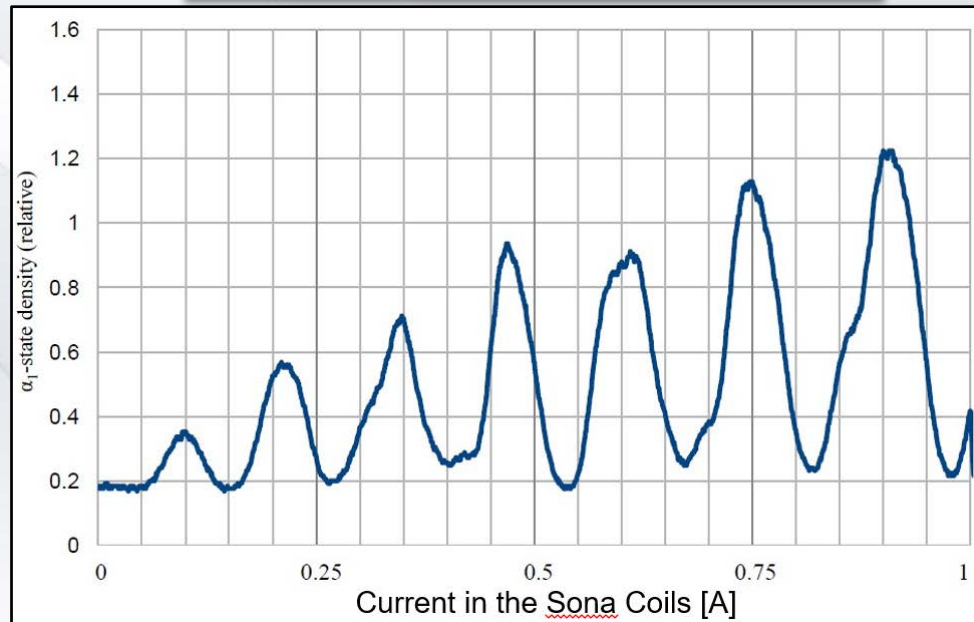
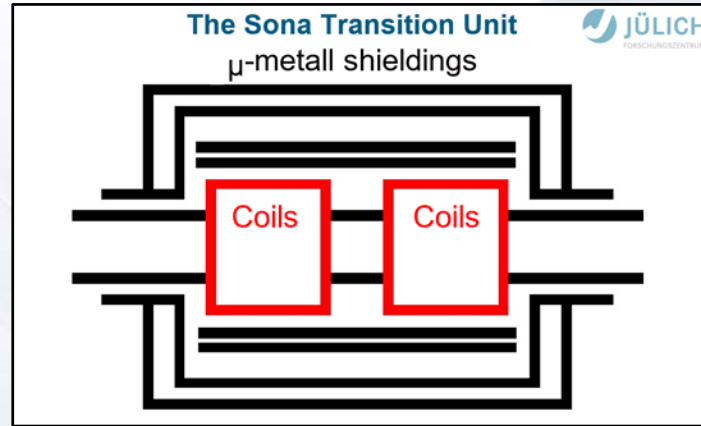


Результаты первых измерений:

- низкая чувствительность поляриметра;
- плохая экранировка от внешнего магнитного поля;
- магнитные свойства нержавеющей трубы влияют на проникновение магнитного поля.



Наблюдение осцилляций в Юлихе (Германия)



См. <http://hepd.pnpi.spb.ru/hepd/events/abstract/2018/Talk.LSP.PNPI.2018.pdf>

Наблюдение осцилляций в Юлихе (Германия)

$$i\hbar \frac{d}{dt} |\psi(t)\rangle = \hat{H}(t) |\psi(t)\rangle$$

or to move in the direction of the Z axis:

$$\frac{d}{dz} |\psi(\mathbf{z})\rangle = -\frac{i}{\hbar v} \hat{H}(\mathbf{z}) |\psi(\mathbf{z})\rangle,$$

where \mathbf{v} is a velocity of atom in the direction of the Z axis and four-dimensional vector of quantum state

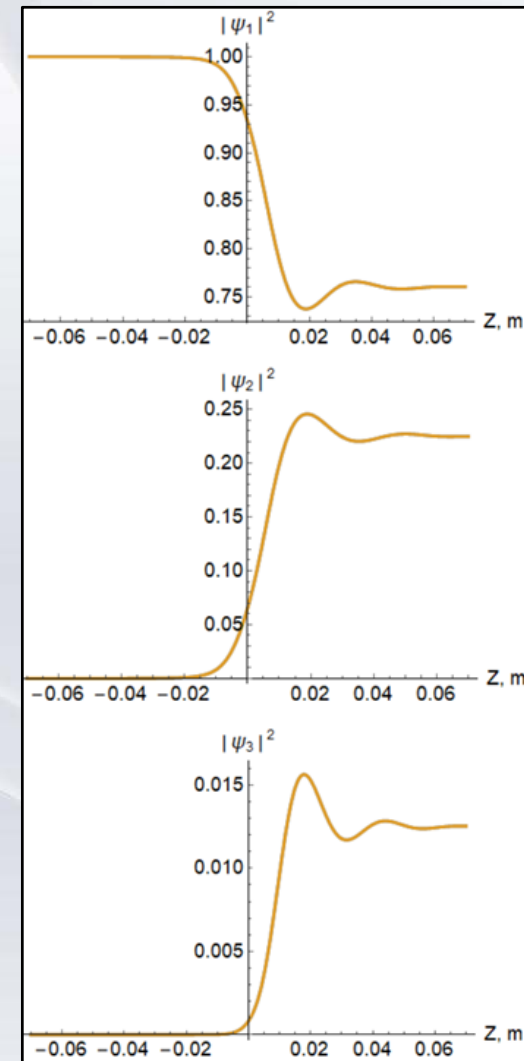
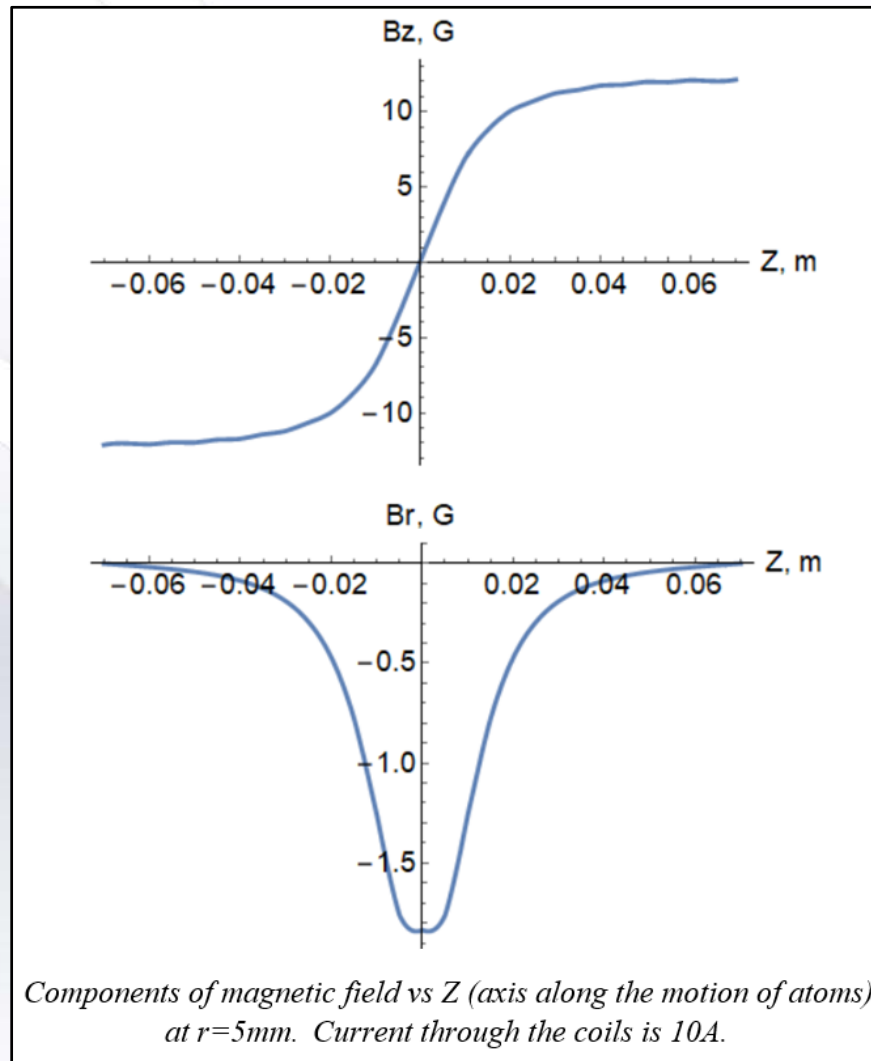
$$|\psi(\mathbf{z})\rangle = \begin{pmatrix} \psi_1(\mathbf{z}) \\ \psi_2(\mathbf{z}) \\ \psi_3(\mathbf{z}) \\ \psi_4(\mathbf{z}) \end{pmatrix}$$

$$\hat{H} = \hbar A_{hfs} \hat{I} \cdot \hat{S} - \mu_B g_e (B_z \hat{S}_z + B_x \hat{S}_x + B_y \hat{S}_y)$$

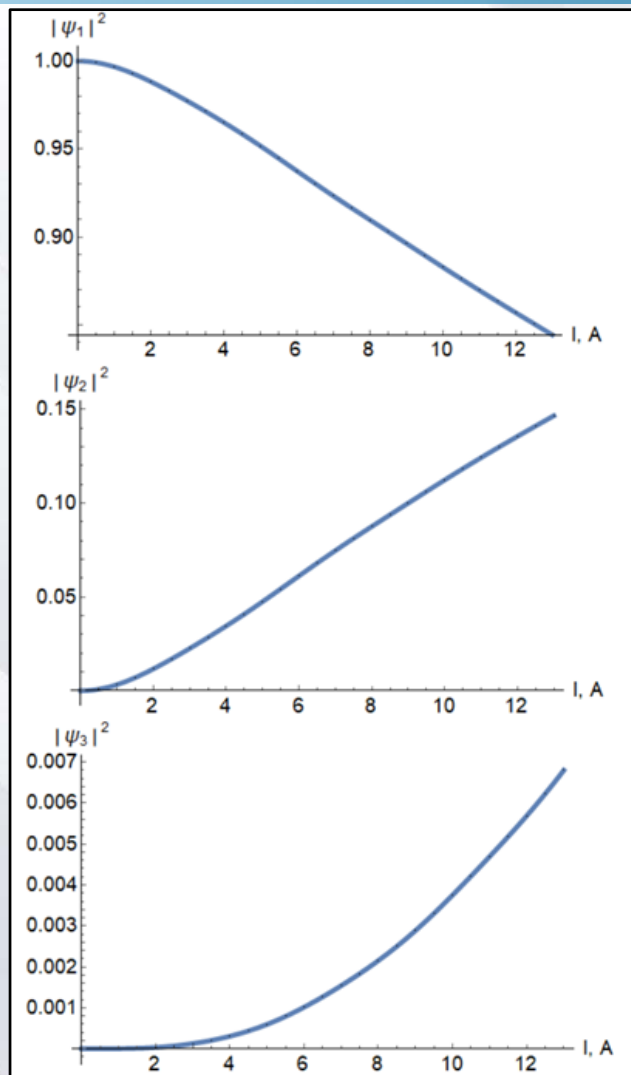
Hamiltonian in the case of axial symmetry has the following matrix form

$$\hat{H}(z) = \begin{pmatrix} \mu_B B_z(z) & \frac{\mu_B B_r(z)}{\sqrt{2}} & 0 & \frac{-\mu_B B_r(z)}{\sqrt{2}} \\ \frac{\mu_B B_r(z)}{\sqrt{2}} & 0 & \frac{\mu_B B_r(z)}{\sqrt{2}} & \mu_B B_z(z) \\ 0 & \frac{\mu_B B_r(z)}{\sqrt{2}} & -\mu_B B_z(z) & \frac{\mu_B B_r(z)}{\sqrt{2}} \\ \frac{-\mu_B B_r(z)}{\sqrt{2}} & \mu_B B_z(z) & \frac{\mu_B B_r(z)}{\sqrt{2}} & -A_{hfs} \end{pmatrix}$$

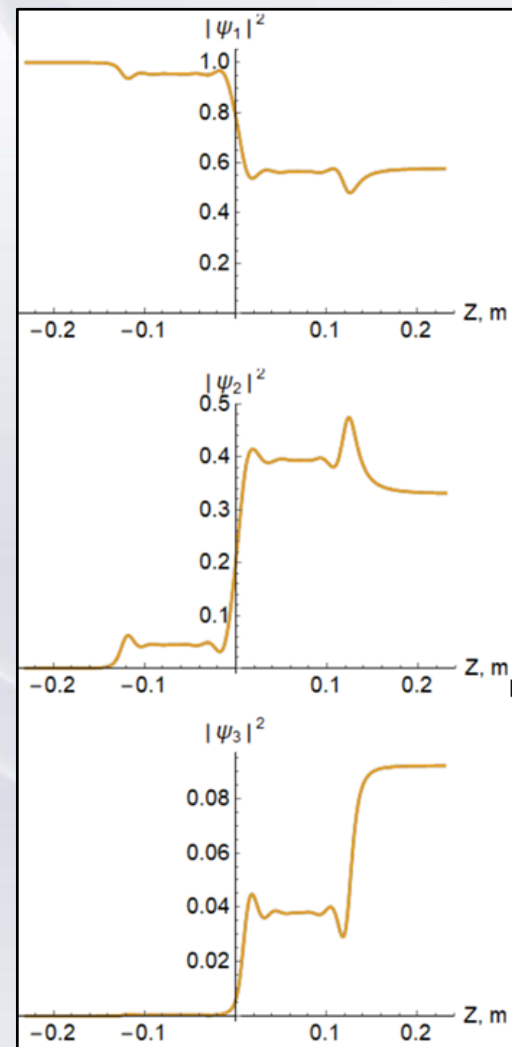
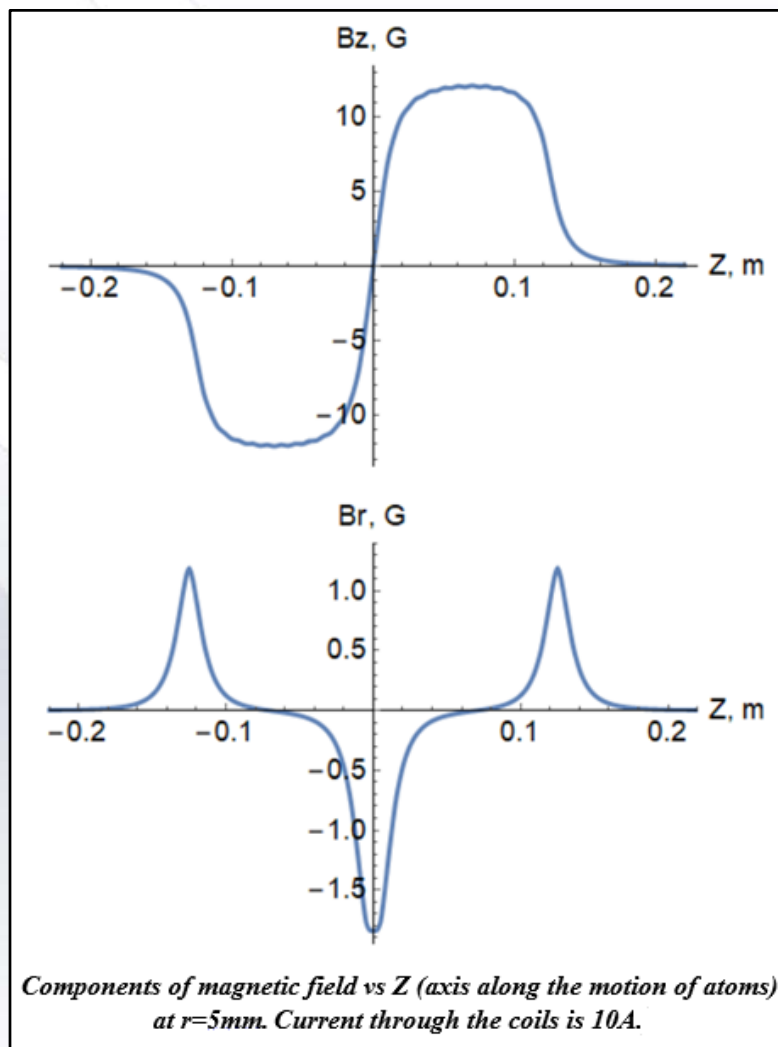
Наблюдение осцилляций в Юлихе (Германия)



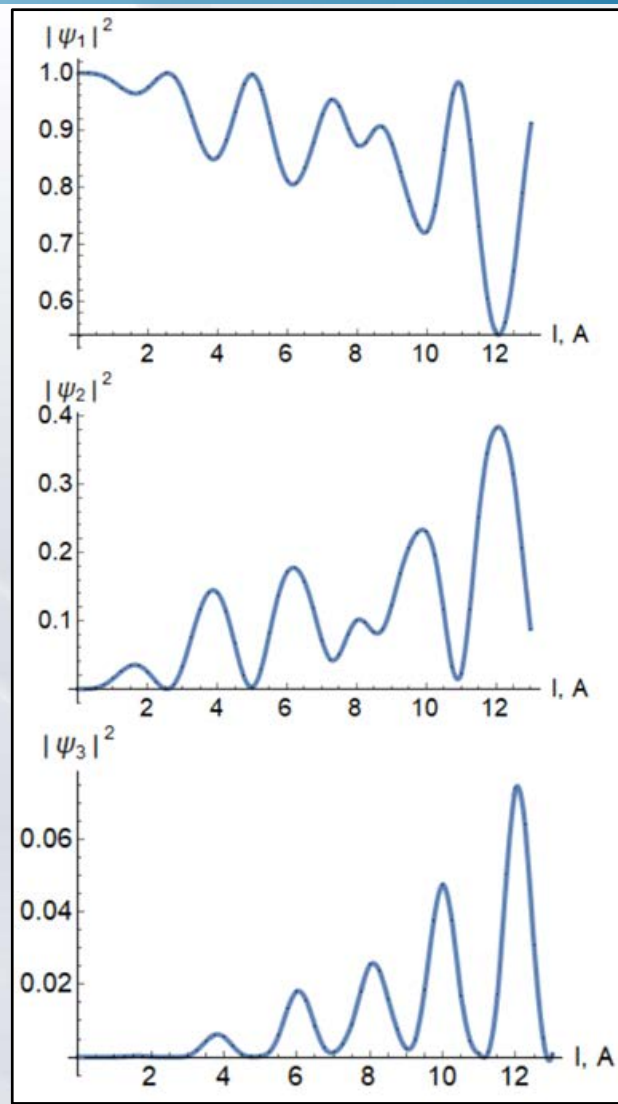
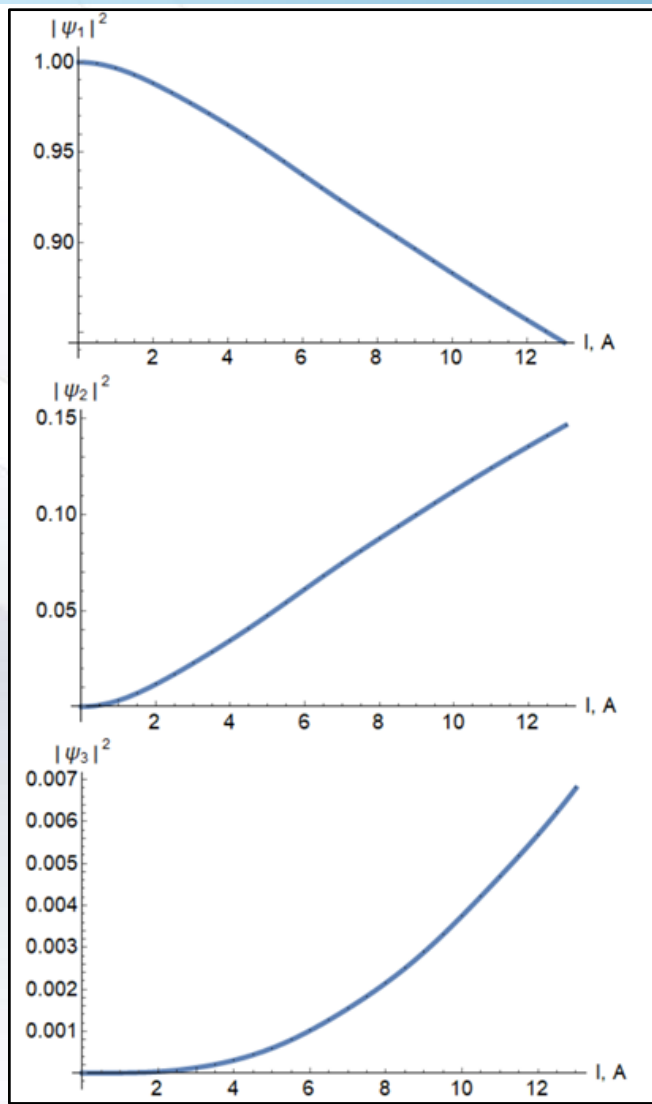
Наблюдение осцилляций в Юлихе (Германия)



Наблюдение осцилляций в Юлихе (Германия)



Наблюдение осцилляций в Юлихе (Германия)



Сравнение двух расчетов

Синяя кривая – численное решение ур-ния Шрёдингера.

Оранжевая кривая – матричный расчет по выше описанной схеме квантового интерферометра.

Частица со спином 1 описывается тремя базисными состояниями, соответствующими трем собственным значениям оператора S_z

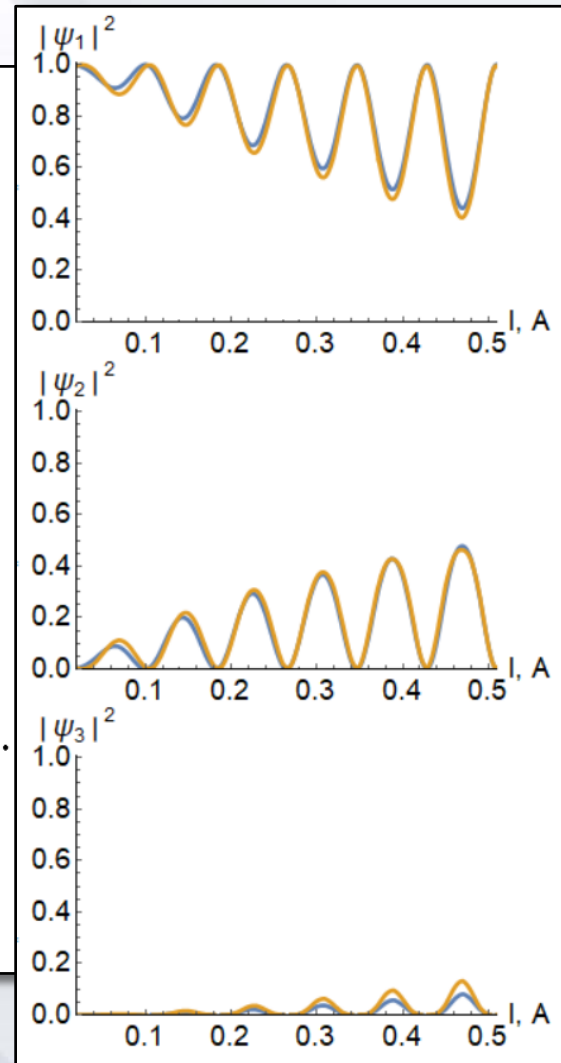
$$\begin{pmatrix} 1 \\ 0 \\ 0 \end{pmatrix}, \begin{pmatrix} 0 \\ 1 \\ 0 \end{pmatrix}, \begin{pmatrix} 0 \\ 0 \\ 1 \end{pmatrix}.$$

При этом операторы S_x , S_y и S_z задаются матрицами:

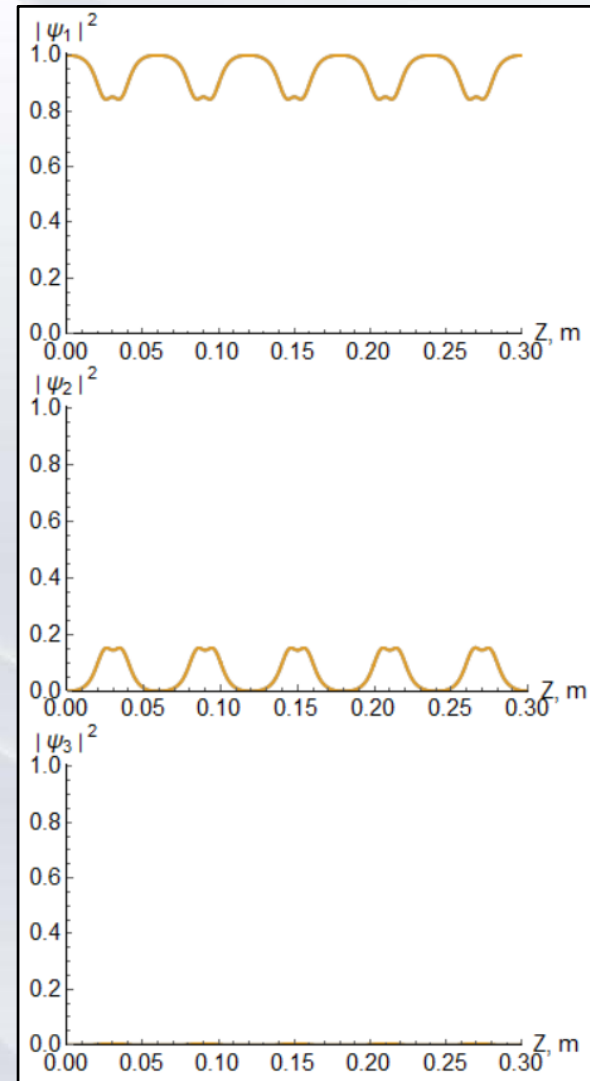
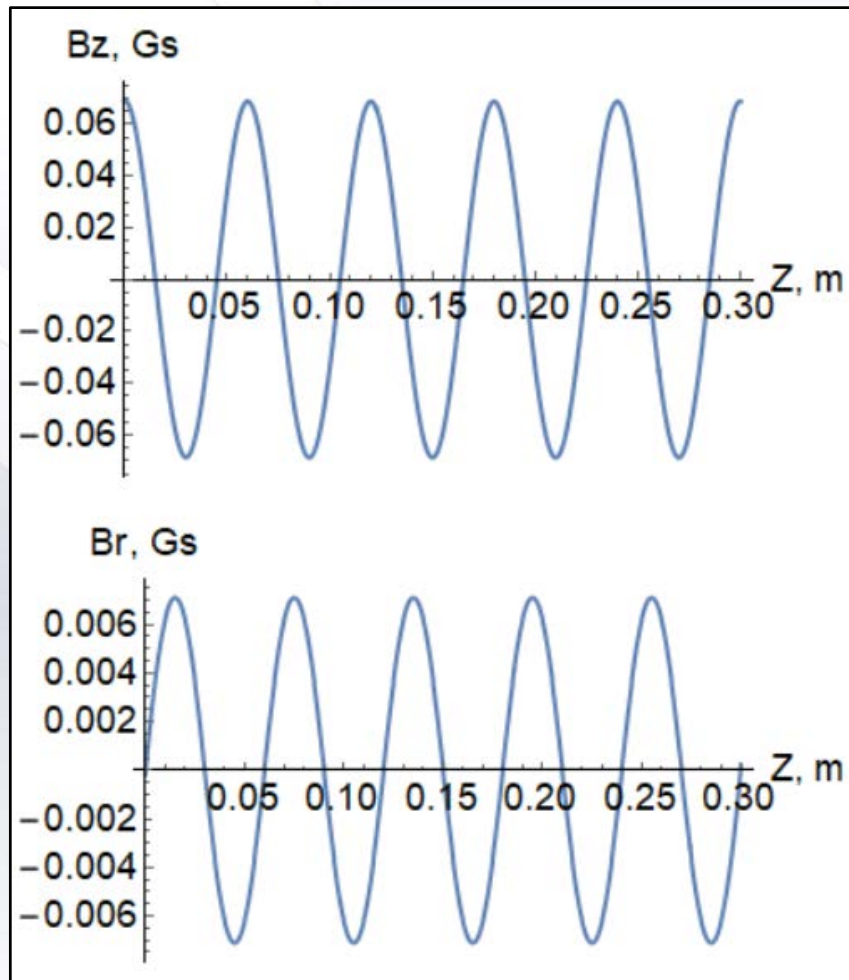
$$S_x = \frac{1}{2^{1/2}} \begin{pmatrix} 0 & 1 & 0 \\ 1 & 0 & 1 \\ 0 & 1 & 0 \end{pmatrix}, \quad S_y = \frac{i}{2^{1/2}} \begin{pmatrix} 0 & -1 & 0 \\ 1 & 0 & -1 \\ 0 & 1 & 0 \end{pmatrix}, \quad S_z = \begin{pmatrix} 1 & 0 & 0 \\ 0 & 0 & 0 \\ 0 & 0 & -1 \end{pmatrix}.$$

Поворот вектора состояния:

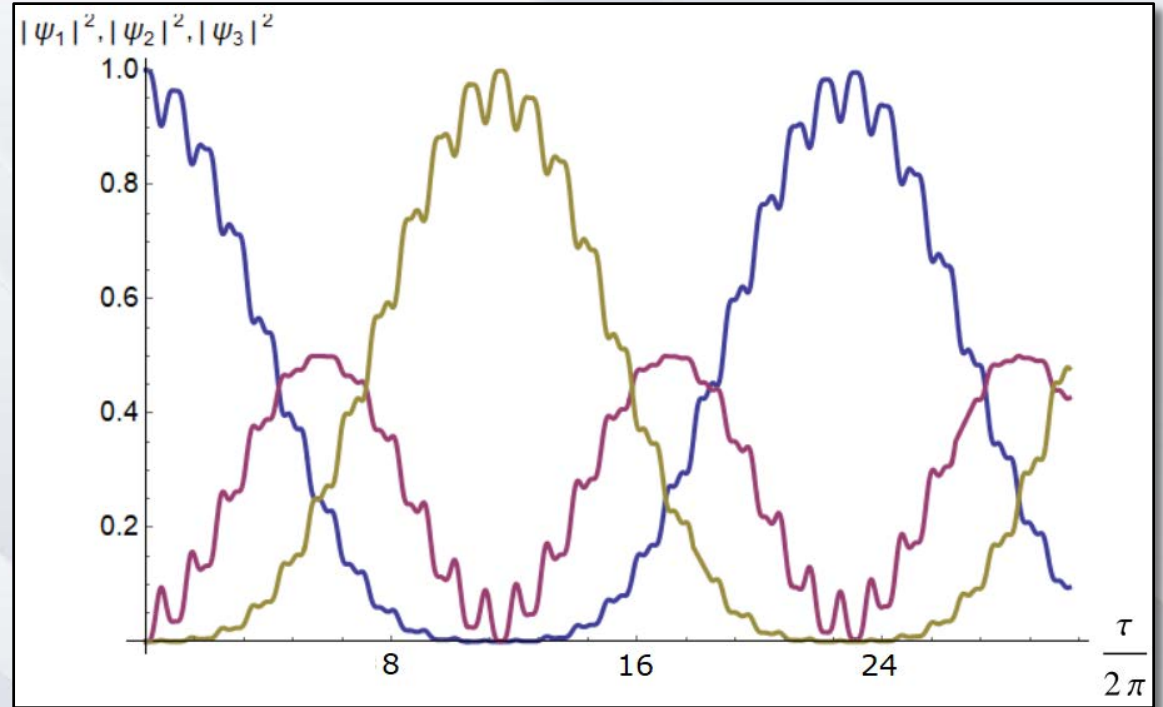
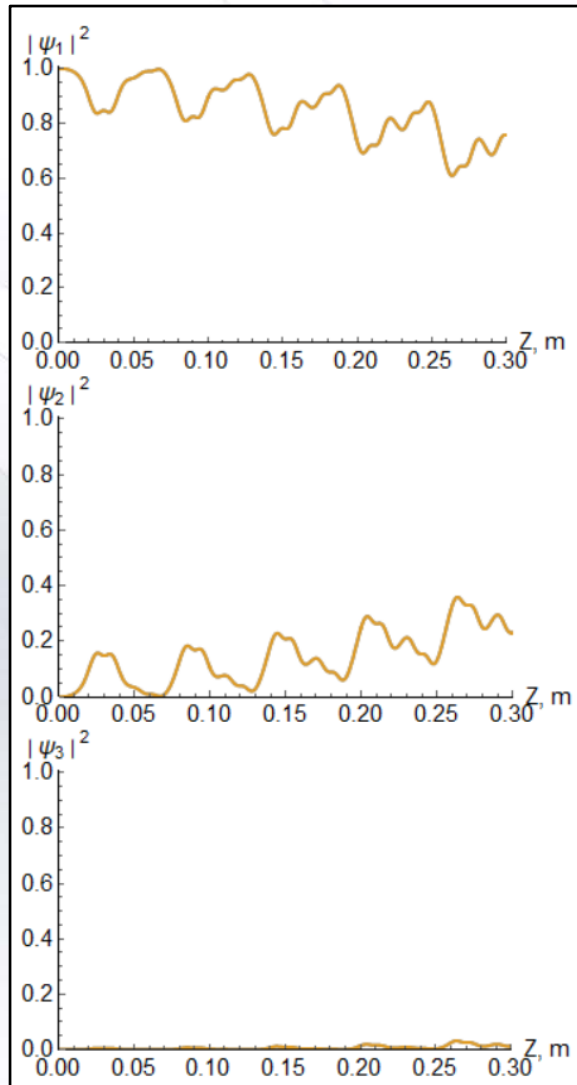
$$\psi' = e^{-i\theta S_j} \psi$$



Спиновая динамика H_1 в периодическом магнитном поле



Спиновая динамика H_1 в периодическом магнитном поле



Спиновая динамика H_1 в периодическом магнитном поле

$$H_z(t) = H_0 \sin(kvt), \quad H_\rho = -\frac{1}{2}k\rho H_0 \cos(kvt).$$

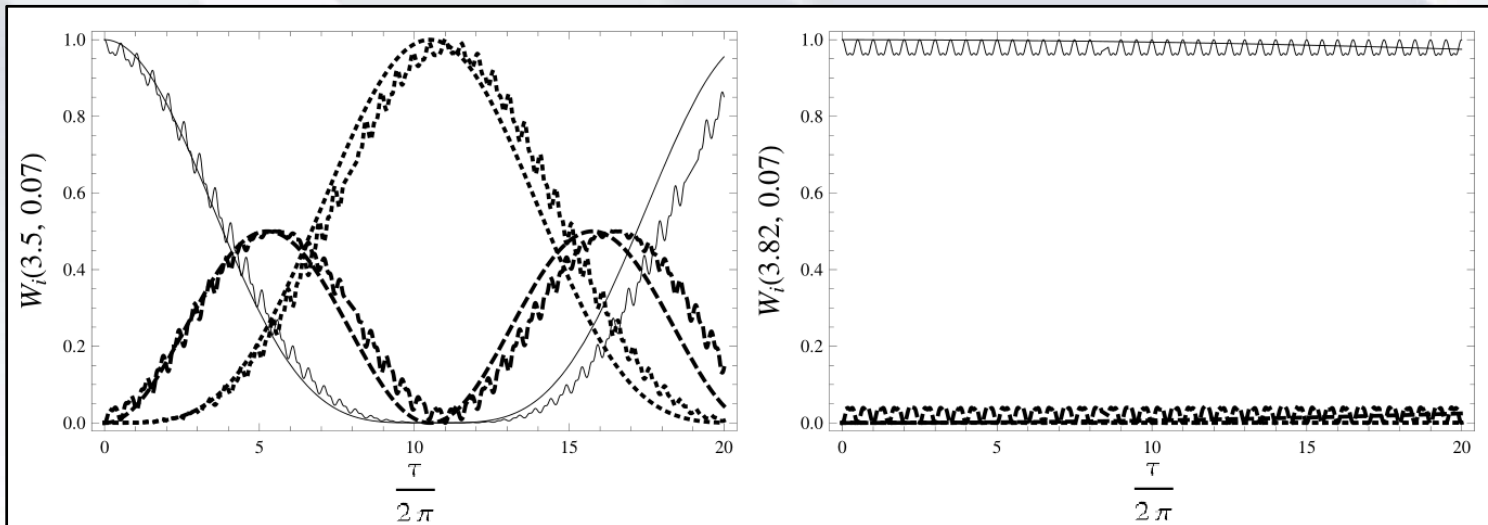
$$i\frac{\partial}{\partial \tau}\psi = B[S_z \sin \tau - \sqrt{2}\lambda S_x \cos \tau]\psi, \quad B = \frac{\mu_B H_0}{\hbar kv}, \quad \lambda = \frac{k\rho}{2\sqrt{2}}, \quad \psi = \begin{pmatrix} a_1 \\ a_2 \\ a_3 \end{pmatrix}.$$

Krylov-Bogolyubov-Mitropol'skii method

$$\bar{W}_1 = \cos^4(\Omega_0\tau/2), \quad \bar{W}_0 = 2\sin^2(\Omega_0\tau/2)\cos^2(\Omega_0\tau/2), \quad \bar{W}_{-1} = \sin^4(\Omega_0\tau/2),$$

where the oscillation frequency Ω_0 reads $\Omega_0 = \sqrt{2}\lambda B J_1(B)$.

$$B^* = 3.83, 7.02, 10.17, 13.32\dots$$



arXiv:2003.04653v1 [physics.atom-ph] 10 Mar 2020

Spin dynamics of a hydrogen atom in a periodic magnetic structure

A.I. Milstein,^{1,*} Yu.V. Shestakov,^{1,†} and D.K. Toporkov^{1,‡}

¹*Budker Institute of Nuclear Physics of SB RAS, 630090 Novosibirsk, Russia*

(Dated: March 11, 2020)

Abstract

The spin dynamics of a hydrogen atom during the passage of a periodic magnetic structure is discussed. The occupation numbers of the components of the hyperfine structure are considered as a function of time. The characteristic low-frequency oscillations are visible, which have a direct analogue in the effect of nuclear magnetic resonance. An envelope forms of these oscillations are found using the Krylov-Bogolyubov-Mitropol'skii method. The dependence of spin dynamics on the parameters of the magnetic structure is investigated. It is shown that this dependence is very sensitive to the structure of the magnetic field.

СПАСИБО !